

## تثبیت بستر اطراف تکیه‌گاه با ترکیب المان‌های شش‌پایه و سنگ‌ریزه\*

مقاله پژوهشی

مسیح ذوالقدر<sup>(۱)</sup> علی اکبر حسین رضا<sup>(۲)</sup> محمود شفاعی بجنستان<sup>(۳)</sup>

**چکیده** امروزه برای حفاظت تکیه‌گاه پل‌های موجود در مقابل آب‌شستگی از لاشه سنگ بطور گسترده استفاده می‌شود. یکی از مصالح پوششی که می‌تواند جایگزین لاشه سنگ شود المان‌های بتنی است. در این تحقیق تاثیر سنگ‌ریزه، المان‌های بتنی شش‌پایه و ترکیب آنها بر مهار آب‌شستگی تکیه‌گاه در مقیاس آزمایشگاهی مورد مطالعه قرار گرفته است. کارگذاری المان‌های شش‌پایه در تراکم‌های کم و زیاد (باز و مترکم) و همچنین در اعماق زیر بستر، روی بستر و حالت میانی در اطراف تکیه‌گاه با دیواره قائم و بالی شکل انجام گرفته است. به طور کلی نتایج نشان می‌دهد که کارگذاری سنگ‌ریزه و المان شش‌پایه می‌تواند آب‌شستگی پیرامون تکیه‌گاه با دیواره قائم و بالی شکل را به طور کامل حذف کرده و آب‌شستگی پیرامون تکیه‌گاه با دیواره قائم را تا ۷۰ درصد کاهش دهد. در کارگذاری المان‌های بتنی، شکست لبه‌ای در آرایشی که بیشترین مهار آب‌شستگی حاصل گردیده مشاهده شد. همچنین ترکیب کارگذاری المان‌های بتنی و سنگ‌ریزه نیز بررسی شد که ملاحظه گردید که علاوه بر مهار آب‌شستگی دماغه تکیه‌گاه، شکست لبه‌ای نیز رخ نداد.

**واژه‌های کلیدی** المان بتنی شش‌پایه، آب‌شستگی، دیواره قائم، دیواره بالی شکل، شکست لبه‌ای.

## Bed Stabilization around Abutment Using Combination of Six-Legged Concrete Elements and Pebbles

M. Zolghadr A. Hoseinreza M. Shafai Bajestan

**Abstract** Installation of stone particles is a very common method to protect abutment against scour. An alternative is concrete elements. In this research, installation of pebbles, Six-Legged Concrete (SLC) elements and combination of them is studied in laboratory. SLC elements were installed in open and dense arrangements with three different depths; on the bed, under the bed and the median case around wing-wall and vertical-wall abutment. Generally, results showed the significant effect of scour mitigation when both methods were applied so that, the maximum scour depth at the abutment toed was reduced up to 70% in vertical wall abutment and totally eliminated at the wing wall abutment. Edge failure was observed when the best scour reduction was achieved in SLC elements installation case. However, best countermeasure was achieved when both methods were applied while edge failure was also controlled. Transformation of the maximum scour depth from the abutment toe to the channel midway at the downstream of the abutment is also discussed.

**Key Word** Six-legged concrete elements, Vertical-wall, Wing-wall, Edge failure.

\* تاریخ دریافت مقاله ۹۸/۸/۸ و تاریخ پذیرش آن ۹۹/۱۱/۱۰ می‌باشد.

Email: zolghadr.masih@jahromu.ac.ir

(۱) نویسنده مسئول، استادیار، گروه علوم و مهندسی آب، دانشگاه جهرم، جهرم.

(۲) دانش آموخته دکتری سازه‌های آبی، دانشکده مهندسی علوم آب، دانشگاه شهید چمران اهواز، اهواز.

(۳) استاد، گروه سازه‌های آبی، دانشکده مهندسی علوم آب، دانشگاه شهید چمران اهواز، اهواز.

## مقدمه

همه ساله پل‌های زیادی در سراسر دنیا عموماً به دلایل هیدرولیکی تخریب می‌گردند. در سیلاب بهمن ماه ۱۳۹۵ در استان فارس دو پل در محور اصلی شیراز- جهرم تقریباً به طور همزمان تخریب گردیدند. در سیلاب‌های فروردین ماه ۹۸ نیز چندین پل و راه ارتباطی تخریب گردیدند که از آن جمله می‌توان به پل جدید کشکان در محور خرم‌آباد-کوهدشت و پل فلزی بخش ماژین دره شهرستان ایلام اشاره کرد. مطالعات (Melville (1992) موید این مطلب است که ۷۰ درصد هزینه‌های مالی شکست پل، ناشی از آبستتگی تکیه‌گاه و تخریب آن بوده است [1]. بنابراین، مقاوم سازی پل‌ها در برابر آبستتگی امری ضروری است. به طور کلی، جهت حفاظت پی پل دو روش اصلاح الگوی جریان و پوششی در ادبیات فنی مطرح می‌باشد.

در روش اصلاح الگوی جریان، عوامل اصلی ایجاد آبستتگی شامل جریان رو به پایین و گرداب اصلی، تضعیف شده یا از محل دور می‌گردند. نصب طوقه، صفحات مستغرق، دیوارهای موازی و المان‌های زبری جزو این دسته هستند که توسط پژوهشگران مختلفی مورد واکاوی قرار گرفته‌اند [2,3,4].

در روش پوششی، قطعات سنگینی که توسط جریان آب جابجا نمی‌گردند، پیرامون پی کارگذاری می‌گردند. به کارگیری سنگ‌ریزه، توریسنگ، قطعات بتنی، ژئوبگ و غیره مثال‌هایی از این دسته هستند [5,6]. نتایج این مطالعات عموماً تعیین اندازه المان‌ها، گستره پوشش و به طور کلی هندسه آن می‌باشد. مرور انواع روش‌های مهار آبستتگی در قالب دو دسته فوق و در مجاورت پایه پل توسط مرجع [6] صورت گرفته است. در نواحی که تهیه سنگ با ابعاد مورد نظر دشوار و پرهزینه باشد (مثل مناطق ساحلی، شهری، دشت، جلگه و غیره) می‌توان به عنوان جایگزین، از قطعات بتنی استفاده کرد. یکی از المان‌های بتنی که در مهندسی دریا، حفاظت سواحل و موج شکن‌ها

مورد استفاده می‌باشد، المان‌های بتنی شش‌پایه با نام تجاری a-jacks هستند.

این المان‌ها به عنوان ابزار مهار فرسایش پنجه ساحل رودخانه‌ها نیز توصیه شده‌اند [7]. کارگذاری این المان‌ها در بستر رودخانه منجر به استهلاک انرژی جنبشی و افزایش مقاومت در برابر نیروهای فرسایشی می‌شود. این المان‌ها از طرفین با المان‌های کناری قفل شده و بصورت یکپارچه عمل می‌کنند و ضمن ایجاد پوشش و افزایش زبری، امکان ایجاد پوشش گیاهی در میان پایه‌ها را فراهم نموده و به حفظ طبیعی ساحل رودخانه کمک می‌کنند. در مورد المان‌های بتنی شش‌پایه مطالعات انگشت شماری انجام شده که عموماً از دیدگاه سازه‌ای بوده است. مطالعات هیدرولیکی عموماً مرتبط با کاربرد آن‌ها در موج شکن و تا حدودی به حفاظت کناره رودخانه‌ها و پایه پل می‌باشد. کروالیس آزمایش‌هایی در مورد این المان‌ها به عنوان موج شکن مستغرق و به منظور تعیین ضرایب انتقال موج انجام داد [8]. پایداری المان-های مستقر بر روی موج شکن از جنس سنگ، در برابر انواع موج توسط [9] مورد آزمایش و واکاوی قرار گرفت. نیروی‌های وارده از طرف موج بر این المان‌ها به صورت آزمایشگاهی و عددی شبیه سازی شدند [10] ضرایب افت و خیز و انعکاس موج برای این المان‌ها با شبیه سازی آزمایشگاهی در مطالعه‌ای دیگر تعیین گردید [11]. یک مطالعه سازه‌ای نیز بر روی قطعات شش‌پایه جهت بررسی رفتار آن‌ها تحت بارهای استاتیکی قائم انجام پذیرفت [12]. در سال بعد مطالعه‌ای جهت بررسی تنش-های دینامیکی و استاتیکی درون قطعات بتنی المان‌های شش‌پایه در همان دانشگاه انجام شد [13]. مطالعات اندکی در ارتباط با کارکرد این المان‌ها را در کنترل آبستتگی منتشر شده است. در این زمینه می‌توان به نتایج آزمایش‌هایی که به وسیله [14,15] برای بررسی آبستتگی پایه پل در بستر ماسه‌ای انجام شد اشاره کرد. نتایج نشان داد که میزان کاهش عمق آبستتگی با نصب المان‌های شش‌پایه ۷۰ تا ۹۵ درصد می‌باشد. آن‌ها پیشنهاد

اساس تحلیل قابلیت اطمینان طی مطالعه‌ای صورت پذیرفت. نتایج نشان داد که عدم قطعیت‌های موجود در پارامترهایی مثل عمق و سرعت جریان منجر به کاهش قابل توجه قابلیت اطمینان لایه محافظ سنگچین می‌گردد. همچنین نتایج تحلیل حساسیت نشان داد که مهم ترین پارامتر در تعیین قابلیت اطمینان لایه سنگچین، سرعت متوسط جریان می‌باشد [۲۲].

با توجه به مزایای المان‌های شش‌پایه از یک سو و استفاده متداول و گسترده از سنگ‌ریزه از سوی دیگر مطالعه کاربرد ترکیبی این دو روش حفاظتی در این پژوهش صورت گرفته است. در این مطالعه تراکم قرارگیری المان‌ها و نیز عمق کارگذاری این المان‌ها به صورت منفرد و در ترکیب با سنگ‌ریزه مورد بررسی آزمایشگاهی و مقایسه قرار گرفته است.

### مواد و روش‌ها

آزمایش‌ها در فلومی از پوشش پلاکسی گلس به طول، عرض و عمق به ترتیب ۱۰، ۱ و ۰/۶ متر و شیب طولی ناچیز طراحی شد. در اواسط فلوم یک جعبه رسوبی به عرض، طول و عمق به ترتیب ۷۰ و ۱۸۰ و ۳۰ سانتی متر قرار داشته است. داخل جعبه رسوبی، رسوبات غیرچسبنده، شامل ماسه یکنواخت با اندازه متوسط (D<sub>50</sub>) ۰/۶۵ میلی متر و با انحراف معیار هندسی ۱/۲۸ و ضریب یکنواختی ۲,۰۲ قرار گرفته است. اندازه ذره رسوبی کمتر از ۱ میلی متر در نظر گرفته شده است. انتخاب این اندازه به این دلیل بوده که سرعت آستانه حرکت رسوبات و همچنین زمان رسیدن به تعادل حفره آبشستگی با کاهش قطر ذرات کاهش پیدا می‌نماید. از طرفی انتخاب این اندازه باعث جلوگیری از تشکیل فرم‌های بستر می‌گردد [۲۳]. هرچند جهت اطمینان عدم تشکیل فرم بستر، آزمایش‌های اولیه‌ای در شرایط هیدرولیکی تحت مطالعه، بر روی رسوبات انجام گردید. در انتهای فلوم سرریز لبه

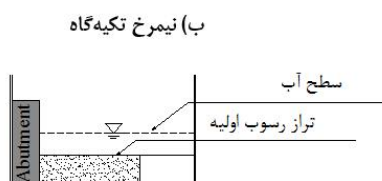
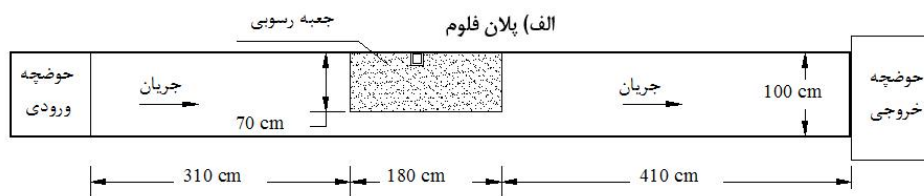
نمودند که این المان‌ها باید به همراه فیلتر ژئوتکستایل و یا قرارگیری قطعات سنگ بین آن‌ها استفاده شود. در سال‌های ۱۳۹۵، ۱۳۹۷، ۱۳۹۹ [۱۶-۱۸] به بررسی تاثیر کارگذاری این المان‌ها پیرامون تکیه‌گاه پل بدون در نظر گرفتن سنگ‌ریزه پرداختند. در این مطالعات المان‌های شش‌پایه مستقیماً بر روی بستر ماسه‌ای قرار گرفته و شکست برشی لایه محافظتی در طی آزمایش‌ها ملاحظه گردید. در مطالعه دیگری تاثیر رقوم متفاوت کارگذاری سنگ ریزه و المان‌های بتنی نسبت به یکدیگر پیرامون تکیه‌گاه مستطیلی تحت یک تراکم کارگذاری بررسی شد. این پژوهشگران بیشتر درصد کاهش آبشستگی را معادل ۸۹ درصد اعلام نمودند [۱۹].

در ارتباط با مهار آبشستگی توسط سنگ‌ریزه نیز اخیراً مطالعات متعددی صورت گرفته است. از آن جمله خادم قانعی و همکاران، در طی یک مطالعه آزمایشگاهی ابعاد مختلف سنگ‌ریزه را که منجر به درصدهای مختلف حفاظت از پایه پل می‌گردید ارائه دادند. آن‌ها نتیجه گرفتند استفاده از ابعاد کوچکتر سنگ منجر به فرسایش یافتن المان‌های سنگی می‌گردد اما نهایتاً قطعات باقی مانده به درون حفره آبشستگی غلتیده و پیشرفت آبشستگی را متوقف می‌کنند [۲۰]. یکی از مشکلات استفاده از سنگ‌چین به خطر افتادن پایداری آن می‌باشد که ناشی از عدم امکان قفل شدن قطعات سنگی به یکدیگر است. یکی از روش‌های رفع این مشکل تزریق در پوشش سنگچین می‌باشد. راهنمای طراحی پوشش سنگچین تزریق شده در شرایط تر و خشک در طی مطالعه‌ای مورد بررسی قرار گرفت. همچنین نتایج این تحقیق نشان داد که اثرات جانبی زیست محیطی این پوشش در حالت خشک ناچیز می‌باشد [۲۱].

با توجه به وجود موارد عدم قطعیت متنوع در برآورد پارامترهای موثر بر تعیین اندازه سنگ پایدار جهت حفاظت از پایه پل در برابر آبشستگی، تحلیل حساسیت و بررسی پایداری پوشش سنگچین پیرامون پایه، بر

گرفته شده است. با توجه به طبقه بندی ملویل، این تکیه-گاه‌ها، از نوع متوسط قرار می‌گیرد که عمق آبستستگی آن‌ها تابعی از طول تکیه‌گاه و عمق جریان است [1]. همچنین به منظور حذف تاثیر آبستستگی ناشی از تنگ-شدگی و مخدوش کردن نتایج، میزان پیش‌آمدگی هر دو نوع تکیه‌گاه (۱۵ سانتی متر)، کمتر از یک سوم عرض فلوم در نظر گرفته شده است [28]. در جدول (۱) ویژگی‌های آزمایش‌ها نشان داده شده است. آزمایش‌ها با رعایت شرایط آب زلال انجام شده است. بدین منظور قبل از نصب تکیه‌گاه‌ها، آزمایش تعیین سرعت بحرانی انجام شد و با انجام چندین تکرار مقدار  $0.3$  متر بر ثانیه به عنوان سرعت آستانه حرکت رسوبات به دست آمد. پارامترهای اندازه‌گیری شده در هر آزمایش شامل دبی و عمق جریان و توپوگرافی بستر بوده که اندازه‌گیری به ترتیب به وسیله سرریز مثلثی، سطح سنج (Point-Gage) و متر لیزری انجام شده است.

تیز مستطیلی به منظور تنظیم سطح آب قرار داشته است. در بدو ورود آب به مخزن، سرریزی مثلثی جهت اندازه‌گیری بده جریان نصب شده است. در شکل (۱) فلوم آزمایشگاهی و مشخصات آن نمایش داده شده است. عمق جریان در کلیه آزمایش‌ها ثابت و معادل  $0.12$  متر بوده است. مطابق معیار ارائه شده در منبع [24] در اعماق بیش از شش سانتی متر تاثیرات کشش سطحی آب حذف می‌گردد. همچنین ابعاد مشابه این فلوم در مطالعات دیگری که در ارتباط با آبستستگی تکیه‌گاه بوده-اند مورد استفاده قرار گرفته است [25-27]. با افزایش سرعت جریان، چهار عدد فرود متفاوت بررسی گردیدند. دو شکل مختلف تکیه‌گاه با فاصله  $0.71$  متر از ابتدای جعبه رسوبی نصب گردید. یکی از تکیه‌گاه‌ها با دیواره بالی شکل و با زاویه اضلاع  $45$  درجه، با قاعده بزرگ و کوچک به ترتیب  $0.45$  و  $0.15$  متر بوده است. تکیه‌گاه دیگر از نوع با دیواره قائم و اضلاع  $0.15$  متر در نظر

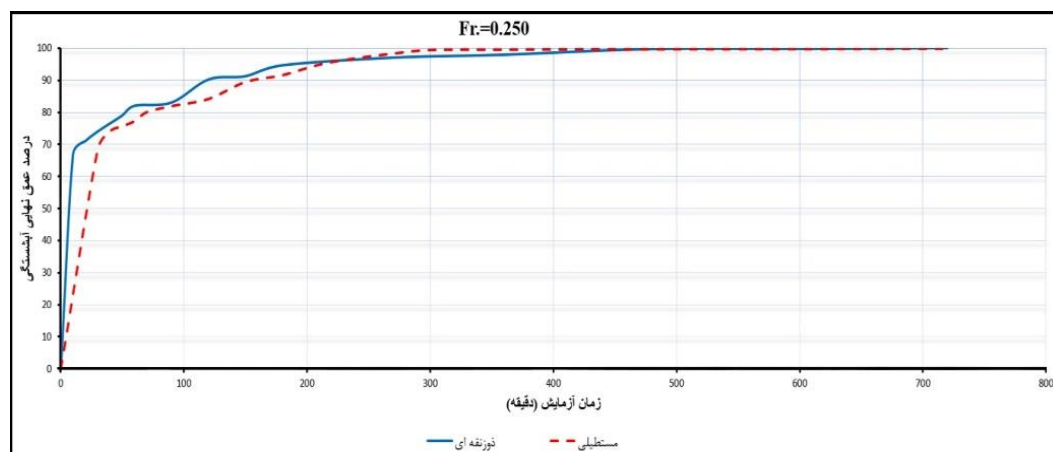


ج) نمای فلوم در آزمایشگاه

شکل ۱ جزئیات فلوم آزمایشگاهی

جدول ۱ ویژگی‌های هیدرولیکی آزمایش‌ها

شماره آزمایش	بده (L/s)	عمق جریان (cm)	عدد فرود	سرعت جریان (cm/s)	سرعت/سرعت بحرانی
۱	۲۳/۴	۱۲	۰/۱۷۹	۱۹/۵	۰/۶۵
۲	۲۷	۱۲	۰/۲۰۸	۲۲/۵	۰/۷۵
۳	۳۰/۶	۱۲	۰/۲۳۵	۲۵/۵	۰/۸۵
۴	۳۲/۴	۱۲	۰/۲۵۰	۲۷	۰/۹۰



شکل ۲ تغییرات زمانی آبشستگی در عدد فرود چهارم برای دو نوع تکیه‌گاه

مشابه آبشستگی با زمان های ۴ ساعت و کمتر را نشان می‌دهد [31,30]. با توجه به همین هدف، اعداد فرود متفاوت با نسبت‌های سرعت به سرعت بحرانی متفاوت نیز در نظر گرفته شده‌اند.

### آزمایش‌های شاهد

این گروه از آزمایش‌ها، که مجموعاً شامل ۸ آزمایش می‌باشد (۴ عدد فرود در دو نوع تکیه‌گاه)، با نصب تکیه‌گاه محافظت نشده طبق جدول (۱) انجام گردید. در پایان هر آزمایش، توپوگرافی بستر در شبکه ۳ در ۳ سانتی‌متر برداشت گردیده است. هرچند متناسب با ناهمواری بستر در مناطقی، برداشت متراکم‌تر شده است. نتایج آزمایش‌های شاهد برحسب پارامترهای بدون بعد عدد فرود ( $Fr$ ) در مقابل عمق آبشستگی نسبی که عبارت است از نسبت عمق آبشستگی نقطه مینا به عمق جریان ( $ds/y$ ) در جدول (۲) قابل مشاهده می‌باشد. نتایج آزمایش‌های ارزیابی نیز

به منظور تعیین مدت زمان انجام آزمایش‌ها در ابتدا آزمایش‌های ۱۲ ساعته در اعداد فرود مختلف انجام شده است. در این آزمایش‌ها تغییرات درصد عمق نهایی آبشستگی نسبت به زمان رسم گردیده است. به عنوان نمونه در شکل (۲) این تغییرات در بیشترین عدد فرود برای دو تکیه‌گاه نشان داده شده است. سپس مدت زمانی که به ازای آن بیش از ۹۰ درصد عمق آبشستگی ۱۲ ساعته رخ داده، به عنوان زمان انجام آزمایش‌ها تعیین گردیده که برابر ۲۴۰ دقیقه بوده است. لازم به ذکر است که در مطالعاتی که هدف آن‌ها ارائه روابط پیش‌بینی عمق آبشستگی تعادلی می‌باشد نیاز به انجام آزمایش‌های طولانی مدت است که در ادبیات فنی تا ۹۶ ساعت هم گزارش شده است [29]. اما با توجه به اینکه هدف مطالعه حاضر مقایسه گزینه‌های مختلف و تاثیر آن‌ها بر عمق آبشستگی است مدت زمان آزمایش‌ها کوتاه‌تر در نظر گرفته شده است. مرور پژوهش‌های پیشین نیز مطالعات

[34] مورد توجه قرار گرفت و با توجه به مسیر مستقیم کانال از رابطه [5]، اندازه  $D_{50}=2.3 \text{ mm}$  برای سنگریزه انتخاب گردید و مورد آزمایش قرار گرفت. نهایتاً بهترین سنگ با جرم مخصوص  $1/7$  گرم بر سانتی متر مکعب (از نوع سنگهای آتش فشانی که بیشتر در صنعت ساختمان کاربرد دارد، شکل (۳-الف)) مورد استفاده قرار گرفت. سنگریزه مورد استفاده دارای ابعادی یکنواخت و تیز گوشه می‌باشند. المان‌های سنگریزه طبق پیشنهاد [35] و [۳۶] در لایه‌ای همتراز بستر قرار داده شد. در این حالت سنگریزه، کمتر تحت تاثیر جریان قرار گرفته و پایداری بیشتری دارد. گستره پوشش پیرامون تکیه‌گاه ۱۳ سانتی متر در نظر گرفته شد (شکل ۳-ب). طبق رابطه [37] و با در نظر گرفتن شرایط آزمایش‌ها، حداقل گستره لازم جهت پوشش پیرامون تکیه‌گاه با دیواره قائم و بالی شکل به منظور اجتناب از گسیختگی ۷ سانتی متر می‌باشد. بنابراین گستره پوشش انتخاب شده (۱۳ سانتی متر) مقداری قابل قبول خواهد بود. علت انتخاب ۱۳ سانتی متر جهت گستره پوشش سنگریزه با توجه به گستره پوشش ایجاد شده هنگام چیدمان المان‌های بتنی شش‌پایه می‌باشد. همچنین، در ارتباط با گستره پوشش لازم المان‌های شش‌پایه پیرامون تکیه‌گاه پل، مطالعه‌ای آزمایشگاهی انجام شد. محققان در اعداد فرود مختلف و شرایط آب زلال، گستره‌هایی شامل دو، سه و چهار ردیف را مورد آزمایش قرار دادند. آن‌ها در نهایت گستره پوشش شامل سه ردیف را بهترین حالت کارگذاری گزارش نمودند که منطبق با نحوه کارگذاری المان‌ها در پژوهش حاضر می‌باشد [۳۸]. ضخامت لایه سنگریزه طبق معیار مرجع [33] دو برابر قطر متوسط المان‌های سنگریزه انتخاب گردید. پس از تعیین پارامترهای هندسی پوشش سنگریزه کارگذاری آن پیرامون تکیه‌گاه و انجام آزمایش‌ها مطابق جدول (۱) انجام شد. نتایج این مرحله از آزمایش‌های ارزیابی در جدول (۳) نشان داده شده است.

بر اساس همین پارامترها و طبق مطالعات مشابه قبلی ارائه گردیده‌اند [۲۷-۲۵].

جدول ۲ نتایج آزمایش‌های شاهد بر حسب عمق آبستنگی نسبی (ds/y) در دماغه تکیه‌گاه

نوع تکیه‌گاه	Fr <sub>1</sub>	Fr <sub>2</sub>	Fr <sub>3</sub>	Fr <sub>4</sub>
با دیواره قائم	۳/۱	۴/۶	۵/۴	۷/۹
با دیواره بالی شکل	۲/۰	۲/۹	۴/۲	۶/۵

### آزمایش‌های ارزیابی

به منظور بررسی تاثیر کارگذاری المان‌های شش‌پایه و سنگریزه بر مهار آبستنگی، آزمایش‌ها ارزیابی در سه مرحله طراحی گردیدند. در گروه اول، دوم و سوم به ترتیب کارگذاری سنگریزه، المان‌های شش‌پایه و ترکیب آن‌ها مورد توجه قرار گرفت. در ادامه در مورد هر یک از این گروه‌ها بحث و بررسی انجام شده است.

### آزمایش‌های ارزیابی مرحله اول

در مرحله اول که شامل ۸ آزمایش می‌باشد (۴ عدد فرود در دو نوع تکیه‌گاه)، سنگریزه بر روی بستر پیرامون تکیه‌گاه کارگذاری گردید. هدف از طراحی این آزمایش‌ها بررسی تاثیر کارگذاری سنگریزه بر کاهش عمق آبستنگی پیرامون تکیه‌گاه می‌باشد.

جهت تعیین مشخصات سنگریزه پایدار آزمایش‌های اولیه متعددی در آزمایشگاه صورت گرفت. دو نکته مهم در مورد اندازه سنگریزه در کنترل آبستنگی اهمیت زیادی دارد: اول اینکه اندازه آنها به حدی برسد که با عبور جریان حرکت نکند و دوم آنکه سرعت جریان عبوری از میان قطعات سنگریزه در حدی باشد که موجب فرسایش در لایه تحتانی یا خاک زیرین نگردد، یا به بیان دیگر منجر به فرسایش زیرسطحی نشود. بنابراین با توجه به این موضوع، ابتدا آزمایش‌های متعدد جهت تعیین سنگریزه مناسب صورت گرفت. همچنین تعیین اندازه سنگریزه مناسب با استفاده از رابطه های [5,32]

جدول ۳ بیشینه عمق آبشستگی نسبی (ds/y) دماغه تکیه‌گاه‌ها (نتایج آزمایش‌های ارزیابی مرحله اول)

نوع تکیه‌گاه	Fr <sub>1</sub>	Fr <sub>2</sub>	Fr <sub>3</sub>	Fr <sub>4</sub>
با دیواره قائم	۰/۹	۱/۴	۴/۲	۵/۵
با دیواره بالی شکل	۰/۸	۱/۲	۱/۸	۳/۷

شش پایه بتنی پیرامون تکیه‌گاه انجام شد. هدف از طراحی این گروه از آزمایش‌ها، بررسی تاثیر کارگذاری المان‌های بتنی شش پایه پیرامون تکیه‌گاه در تراکم و اعماق متفاوت کارگذاری و مقایسه نتایج با محافظت به وسیله سنگ‌ریزه به عنوان یک روش مرسوم می‌باشد. در شکل (۴) کارگذاری المان‌ها در تراکم و اعماق مختلف نشان داده شده است.

با قرارگیری متراکم‌تر المان‌ها در کنار یکدیگر، پایداری آن‌ها افزایش یافته و درصد بیشتری از بستر تحت پوشش قرار می‌گیرد. در این حالت تعداد قطعات مورد نیاز در واحد سطح بیشتر خواهد بود.

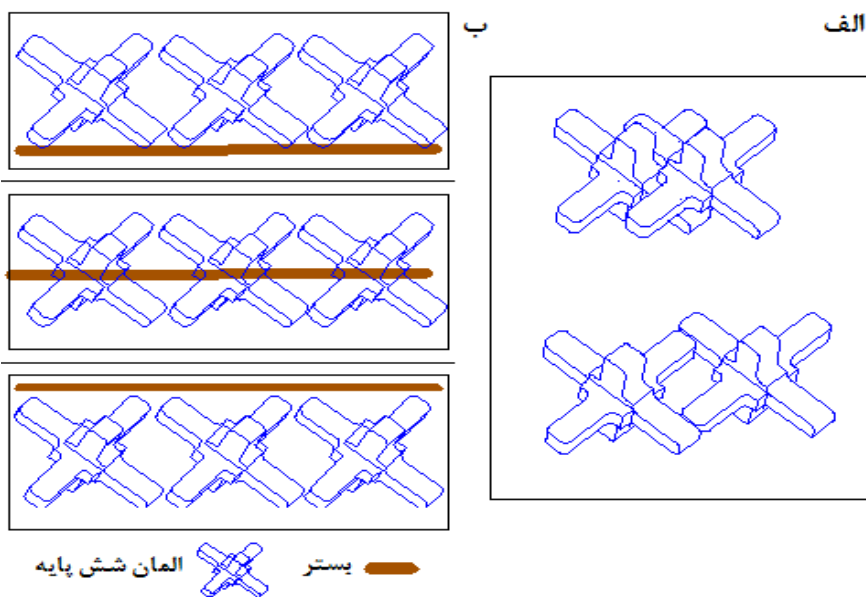
به منظور واکاوی اثر تراز کارگذاری المان‌ها در مهار آبشستگی، سه تراز روی بستر (D1)، زیر بستر (D2) و بین این دو عمق (D3) مطابق شکل (۴) مورد توجه قرار گرفت. در تراز D1، زبری المان نقش بیشتری داشته و می‌تواند ضمن ایجاد پوشش باعث راندن جریان از رأس تکیه‌گاه نیز شود. از طرفی در این تراز قرارگیری، پایداری المان‌ها می‌تواند به خطر افتد. در تراز کارگذاری D2 المان‌ها نقش کمتری در ایجاد زبری داشته و از پایداری بیشتری برخوردار خواهد بود.



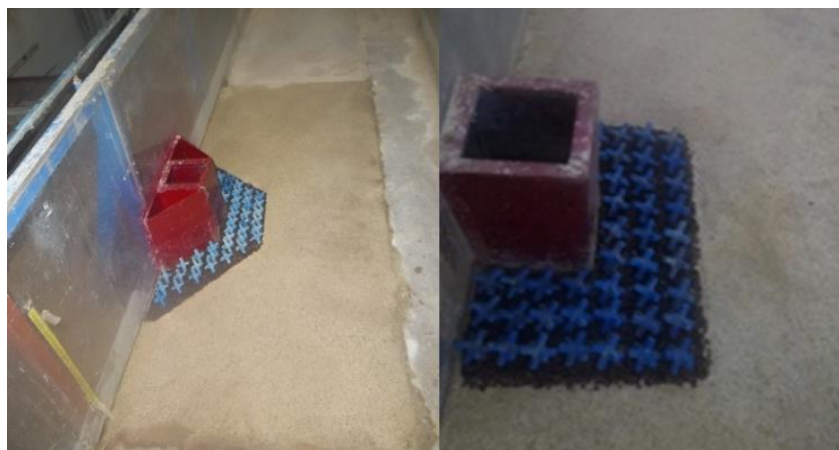
شکل ۳ الف) سنگ‌ریزه مورد استفاده در آزمایش، ب) کارگذاری سنگ‌ریزه پیرامون تکیه‌گاه با دیواره قائم

### آزمایش‌های ارزیابی مرحله دوم

در مرحله دوم آزمایش‌های ارزیابی، که شامل ۴۸ آزمایش می‌باشد (۴ عدد فرود، ۲ نوع تکیه‌گاه، و ۳ عمق کارگذاری و ۲ تراکم مختلف)، کارگذاری المان‌های



شکل ۴ آرایش کارگذاری المان‌های شش پایه: الف) تراکم‌های کم (باز) و زیاد (تراکم)، ب) اعماق کارگذاری نسبت به بستر



شکل ۵ کارگذاری همزمان سنگریزه و المان‌های شش‌پایه اطراف تکیه‌گاه بر روی بستر

جدول ۴ بیشینه عمق آبستگي نسبي (ds/y) دماغه تکیه‌گاه‌ها در آزمایش‌های شاهد

نوع تکیه‌گاه	Fr <sub>1</sub>	Fr <sub>2</sub>	Fr <sub>3</sub>	Fr <sub>4</sub>
با دیواره قائم	۳/۱	۴/۶	۵/۴	۷/۹
با دیواره بالی شکل	۲/۰	۲/۹	۴/۲	۶/۵

در آزمایش‌های ارزیابی مرحله اول، محافظت تکیه‌گاه‌ها با کارگذاری سنگریزه انجام شد. نتایج نشان داد که کارگذاری سنگریزه می‌تواند آبستگي نقطه مبنا را تا ۷۰/۳ و ۶۰ درصد به ترتیب در تکیه‌گاه با دیواره قائم و بالی شکل تخفیف دهد (جدول ۵).

جدول ۵ درصد کاهش عمق آبستگي دماغه تکیه‌گاه‌ها با کارگذاری سنگریزه

نوع تکیه‌گاه	Fr <sub>1</sub>	Fr <sub>2</sub>	Fr <sub>3</sub>	Fr <sub>4</sub>
با دیواره قائم	۷۰/۳	۶۹/۱	۲۳/۱	۳۰/۵
با دیواره بالی شکل	۵۸/۳	۶۰	۵۶	۴۳/۶

در آزمایش‌های ارزیابی مرحله سوم، المان‌های شش‌پایه در تراز و تراکم‌های ذکر شده کارگذاری شدند. نتایج نشان داد که، بهترین نتایج مهار آبستگي در هر تراکم زمانی به دست می‌آید که المان‌ها بر روی بستر

### آزمایش‌های ارزیابی مرحله سوم

با توجه به نتایجی که از آزمایش‌های مرحله اول و دوم به دست آمد، آزمایش‌های مرحله سوم مشتمل بر ۲۴ آزمایش (۴ عدد فرود، ۲ نوع تکیه‌گاه، ۳ عمق کارگذاری و ۱ تراکم باز)، طراحی و اجرا گردیدند. در این مرحله ترکیب کارگذاری المان‌های سنگریزه و المان‌های بتنی شش‌پایه جهت محافظت تکیه‌گاه مورد توجه قرار گرفت. بدین منظور المان‌های شش‌پایه بتنی در اعماق مختلف و تراکم باز پیرامون تکیه‌گاه کارگذاری گردیدند. در شکل (۵) نمایی از این نوع آرایش لایه‌های حفاظتی پیرامون هر دو نوع تکیه‌گاه در حالتی که المان‌های شش‌پایه و سنگریزه بر روی بستر هستند نشان داده شده است.

### یافته‌ها و بحث

در آزمایش‌های شاهد بیشینه آبستگي، در گوشه بالادست یا دماغه تکیه‌گاه رخ داده است. بنابراین این نقطه به عنوان مبنای مقایسه بیشینه آبستگي مورد توجه قرار گرفته است. در تکیه‌گاه با دیواره قائم، گردابه‌های شدیدتری شکل گرفته و در نتیجه اعماق آبستگي در رأس این تکیه‌گاه به طور میانگین حدود ۲۸ درصد بیشتر از مقادیر متناظر در تکیه‌گاه با دیواره بالی شکل می‌باشد. بیشینه آبستگي در انتهای آزمایش‌های شاهد برای هر دو تکیه‌گاه در جدول (۴) نشان داده شده است.



قرار گرفتند. علت را می توان به ایجاد پوشش بیشتر در چیدمان متراکم مرتبط دانست. در تراکم باز یا کم، در حدود ۵۴٪ مساحت بستر و در کارگذاری متراکم ۹۷٪ سطح بستر پوشانده می شود. از طرفی در چیدمان متراکم، تعداد المانها در واحد سطح بیشتر می گردد. در مطالعه حاضر تعداد المانهای به کار رفته در تراکم کم و زیاد پیرامون تکیه گاه با دیواره قائم به ترتیب ۵۱ و ۸۲ قطعه و پیرامون تکیه گاه با دیواره بالی شکل به ترتیب ۶۳ و ۹۸ قطعه بوده است.

پژوهش های [14,15] محدود به مطالعه کارایی المانها در حفاظت پایه پل در چیدمان متراکم و تراز روی بستر بوده است. در حالی که در مطالعه پیش رو، دو تراکم و سه تراز مختلف قرارگیری مورد واکاوی قرار گرفته که نتایج آن به منظور ارائه گزینه های مختلف طراحی عمق پی تکیه گاه می تواند مورد استفاده قرار گیرد. در گروه دوم آزمایش های ارزیابی بهترین نتایج در مهار آبستنگی زمانی رخ داد که المانها بر روی بستر در چیدمان متراکم قرار گرفته اند. در جدول (۶) درصد کاهش آبستنگی در نقطه مبنا در این گروه از آزمایش ها دیده می شود. جهت اطلاعات بیشتر در این زمینه می توان به مطالعات [۱۶ و ۱۷] مراجعه کرد.

قرار گرفته بودند. علت را می توان به زبری المانها مرتبط دانست. در این تراز قرار گیری، اثر زبری بیش از دیگر ترازها بوده و منجر به مهار جریان رو به پایین در وجه بالادست تکیه گاه شده است. همچنین بیشترین مقادیر آبستنگی در تراز D2 یا زیر بستر رخ داد. در این تراز، المانها در زیر بستر قرار گرفته و زبری آنها نقشی در کنترل آبستنگی نداشته است. هر چند با گذشت زمان و پیشرفت آبستنگی، المانها به تدریج آشکار شده و اثر زبری آنها نسبت به آغاز آزمایش بیشتر می گردد. در تراز قرارگیری D3 مقادیر آبستنگی مابین مقادیر متناظر دو تراز قرارگیری دیگر قرار گرفت. در ارتباط با رقوم قرارگیری پوشش، پژوهش های کم تعدادی، توسط دیگر دانشمندان مثل [35] و [۳۹,40] صورت گرفته است. آن ها در ارتباط با محافظت پایه توسط سنگ ریزه، در شرایط بستر زنده آزمایش هایی ترتیب دادند و نتیجه گیری کردند که در شرایط بستر زنده که فرم بستر ایجاد می گردد، تراز قرارگیری سنگ ریزه در کمینه تراز فرم های بستر باشد.

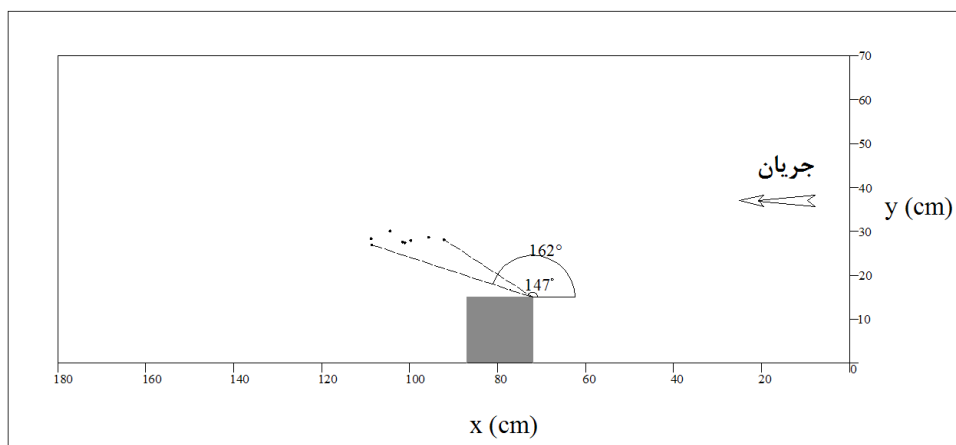
در مورد اثر تراکم قرارگیری المانها بر مهار آبستنگی، بهترین نتایج در هر تراز قرارگیری، زمانی حاصل شد که المانها به صورت متراکم در کنار یکدیگر

جدول ۶ درصد کاهش عمق آبستنگی نقطه مبنا (٪) در آزمایش های گروه دوم

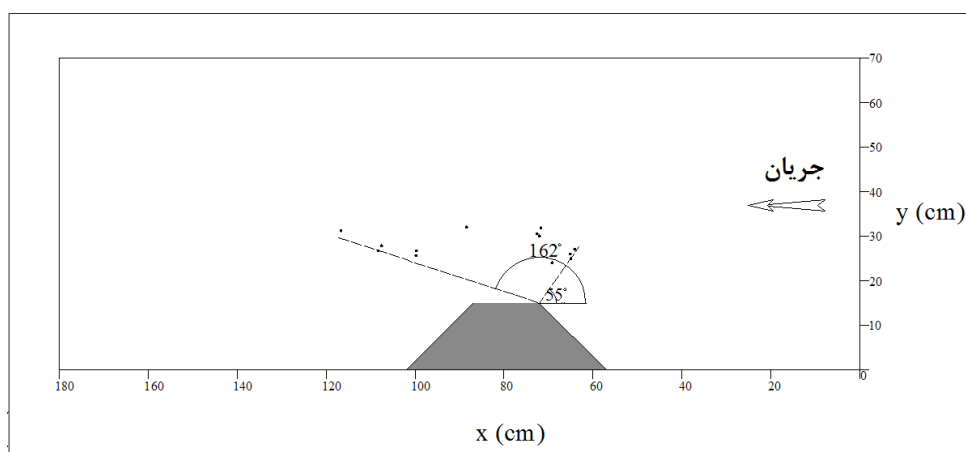
تراز کارگذاری	روی بستر D1		زیر بستر D3		عمق مبنا D3		عدد فرود
	تکیه گاه با دیواره قائم	تکیه گاه با دیواره بالی شکل	تکیه گاه با دیواره قائم	تکیه گاه با دیواره بالی شکل	تکیه گاه با دیواره قائم	تکیه گاه با دیواره بالی شکل	
T1	۷۶	۷۱	۸	۰	۳۰	۴	۰/۱۷۹
تراکم کم	۶۴	۶۶	۱۸	۱۱	۴۶	۱۷	۰/۲۰۸
	۷۷	۷۲	۳۲	۲۶	۴۳	۲۸	۰/۲۳۵
	۸۰	۷۷	۴۸	۴۹	۵۹	۵۱	۰/۲۵۰
T3	۷۴	۱۰۰	۴۳	۷۱	۸۱	۲۲	۰/۱۷۹
تراکم زیاد	۸۰	۱۰۰	۵۱	۵۱	۷۳	۸۰	۰/۲۰۸
	۸۲	۸۸	۴۸	۵۲	۶۹	۸۴	۰/۲۳۵
	۸۶	۹۱	۵۱	۶۵	۷۶	۸۲	۰/۲۵۰

منجر به انحراف جریان به سمت پایین دست و مرکز، و در نتیجه انتقال نقطه با عمق بیشینه آبستگي به آن مناطق نیز می گردند. علت را می توان در ارتفاع المانها نسبت به بستر جستجو کرد: ارتفاع المانها نسبت به بستر  $3/5$  سانتی متر بوده است. این میزان در حدود یک سوم عمق جریان بوده است. شکل (۶) و (۷) نشان دهنده محدوده نقاط جابجا شده با عمق آبستگي بیشینه در دو نوع تکیه گاه می باشد. جابجایی نقطه بیشینه عمق آبستگي از یک سو محافظت بیشتر از پی را به همراه داشته و از سوی می تواند منجر به ایجاد گسیختگی برای پوشش حفاظتی پیرامون تکیه گاه گردد.

قرارگیری المانها بر روی بستر در چیدمان متراکم آبستگي دماغه تکیه گاه با دیواره قائم و بالی شکل را به ترتیب تا ۸۶ و ۱۰۰ درصد کاهش داد. در یک مطالعه آزمایشگاهی دیگر که تاثیر کارگذاری تعداد ردیف این المانها را بر پایه پل با مقطع مربعی بررسی می نمود، تاثیر تعداد ردیف کارگذاری المانها بر آبستگي مورد بررسی قرار گرفت. محققان گزارش نمودند که با افزایش تعداد ردیف کارگذاری، آبستگي کاهش می یابد به طوری که در سه ردیف کارگذاری آبستگي به طور کامل حذف گردید [۳۸]. از سویی مشاهدات نشان داد که در مطالعهی حاضر، این چیدمان المانها ضمن ایفای نقش پوششی،



شکل ۶ محدوده نقاط جابجا شده با عمق آبستگي بیشینه در تکیه گاه با دیواره قائم



شکل ۷ محدوده نقاط جابجا شده با عمق آبستگي بیشینه در تکیه گاه با دیواره بالی شکل

قوس ۹۰ درجه پرداختند. نتایج این پژوهش نیز نشان داد که کارگذاری سنگریزه بالاتر از بستر که معادل عمق کارگذاری  $D_1$  در مطالعه پیش رو می باشد، کمترین میزان پایداری را دارد که مشابه نتایج پژوهش حاضر می باشد. همانطور که اشاره شد گسیختگی پوشش المان های شش- پایه (از نوع لبه ای) فقط در عمق کارگذاری روی بستر مشاهده گردیده است. شکل (۸) نشان دهنده آزمایش های دچار گسیختگی از نوع لبه ای می باشد.

همانطور که مشاهده می گردد شدت و ابعاد گسیختگی لبه ای در تراکم باز کمتر از تراکم زیاد است. دلیل این موضوع را می توان به شدت انحراف بیشتر جریان به سمت مرکز کانال در تراکم های بیشتر مرتبط دانست. همانطور که در بندهای قبلی اشاره شده به ویژه در تراکم حداکثر جریان از تکیه گاه به سمت مرکز منحرف شده و نقطه دارای عمق آبستتگی حداکثر به مرکز انتقال می یابد. ایجاد آبستتگی عمیق تر در مرکز کانال استعداد گسیختگی لبه ای را نیز افزایش می دهد.

با توجه به نتایج این مرحله، آزمایش های گروه سوم طراحی و اجرا گردیدند. هدف از اجرای این گروه از آزمایش ها، برطرف ساختن نقاط ضعف آزمایش های گروه دوم بود. در گروه دوم آزمایش ها، از یک سو در تراکم بیشتر میزان مهار آبستتگی کمتر بوده و از سوی دیگر، در این تراکم شکست لبه ای پوشش رخ داده است. بنابراین در گروه سوم، تراکم زیاد المان ها که منجر به شکست لبه ای می گردید حذف شده و کارگذاری آن ها در تراکم کمتر و با حضور سنگریزه مورد بررسی قرار گرفت. در این حالت تعداد قطعات المان در واحد سطح نیز کاهش می یابد. در ارتباط با عمق کارگذاری المان ها نیز همانطور که اشاره گردید، اعماق بیشتر، از یک سو منجر به پایداری بیشتر المان ها و از سوی دیگر منجر به کاهش توانایی آن ها در محافظت از تکیه گاه می گردد. بنابراین اعماق مختلف کارگذاری در این گروه از آزمایش ها مورد توجه و مقایسه قرار گرفت. خلاصه نتایج

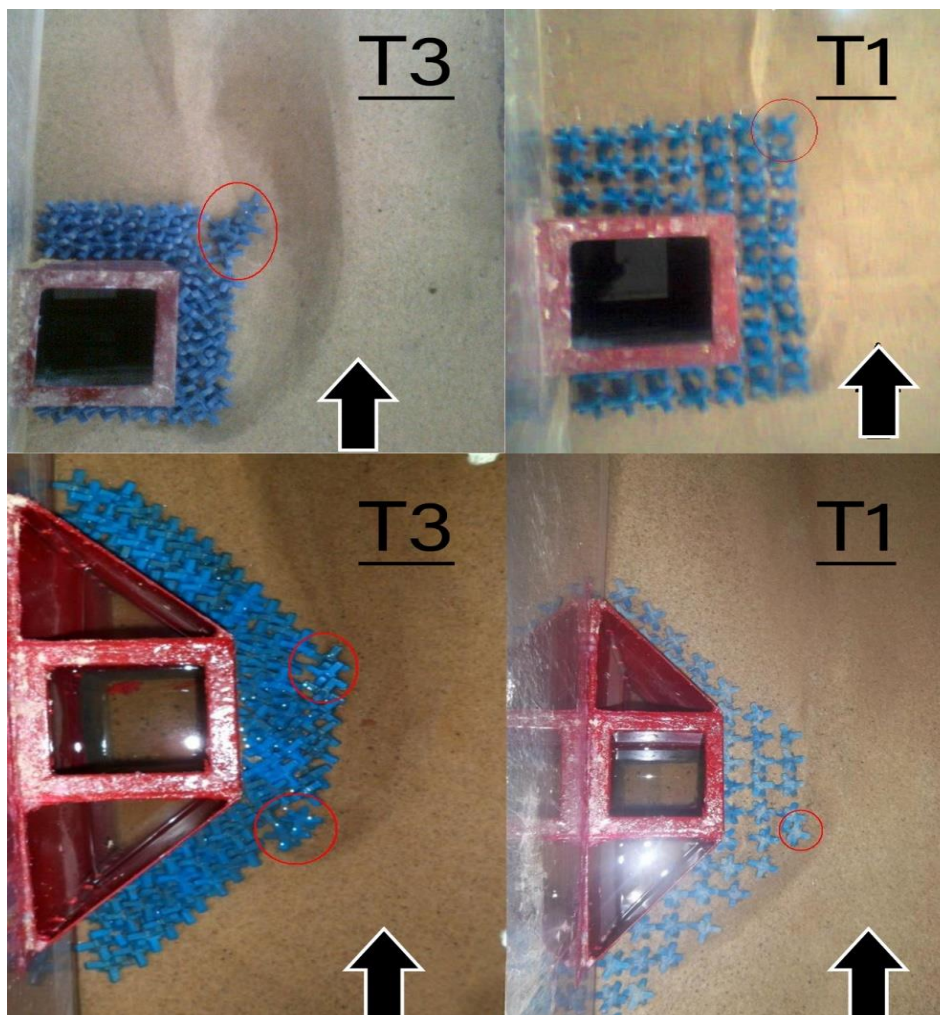
انواع مکانیزم های گسیختگی پوشش که در بستر افقی و در شرایط آب زلال پیرامون تکیه گاه قرار گرفته است شامل شکست برشی، تخریب زیرسطحی و شکست لبه ای می باشد. این مکانیزم ها می تواند به صورت منفرد و یا به اتفاق یکدیگر منجر به گسیختگی پوشش محافظتی گردند. در مطالعه حاضر با توجه به ابعاد المان- های شش پایه و شرایط هیدرولیکی آب زلال گسیختگی برشی رخ نداده است. شکست زیرسطحی زمانی رخ می دهد که رسوبات بستر از لابه لای قطعات پوشش فرسایش یابند. در این حالت پوشش عملاً قادر به مهار آبستتگی نبوده و دچار نشست می گردد. اجرای فیلتر یا اجرای چند ردیفه پوشش به نحوی که به صورت فیلتر عمل کند، راه حل اجتناب از این نوع گسیختگی است. در مطالعه حاضر با توجه به شرایط هیدرولیکی جریان این نوع گسیختگی مشاهده نگردیده است.

شکست لبه ای که در حاشیه پوشش به واسطه فرسایش موضعی رسوبات ایجاد می گردد منجر به گردش یا لغزش قطعات پیرامون پوشش به سمت بیرون شده و گسیختگی آن را موجب می گردد. در آزمایش های این گروه، این نوع گسیختگی مشاهده شده است. شکست لبه ای تحت شرایط هیدرولیکی عدد فرود بیشینه و در تراز کارگذاری روی بستر ( $D_1$ )، یعنی همان عمقی که بهترین حفاظت از تکیه گاه را به عمل می آورد، در هر دو نوع تکیه گاه رخ داده است. به بیان دیگر کارگذاری المان ها در زیر بستر یا در حالتی که نیمی از آن ها در زیر بستر قرار گرفته باعث اجتناب از شکست لبه ای می گردد، هرچند تاثیر کمتری در مهار آبستتگی پیرامون تکیه گاه دارد.

این نتایج قابل مقایسه با یافته های [40] می باشد، آن ها نیز در مطالعه خود نتیجه گرفتند که هرچه عمق کارگذاری سنگریزه در تراز پایین تری باشد پایداری آن بیشتر خواهد بود. همچنین [۳۹] در مطالعه ای به مقایسه پایداری سه رقوم مختلف کارگذاری سنگریزه (روی بستر، هم تراز بستر و زیر بستر) پیرامون تکیه گاه پل در

رخ داده است. این در حالی است که در این گروه از آزمایش‌ها، شکست لبه‌ای لایه حفاظتی نیز مشاهده نگردیده است. همچنین با کارگذاری المان‌های شش‌پایه در تراکم کمتر نتایج بهتری در مقایسه با کارگذاری المان‌های متراکم در گروه دوم آزمایش‌ها به دست آمده است (۱۹ و ۷ درصد به ترتیب در تکیه‌گاه با دیواره قائم و بالی شکل)، ضمن اینکه تعداد المان‌ها نیز ۳۵ درصد کاهش یافته است.

این گروه از آزمایش‌ها در جدول (۷) قابل مشاهده می‌باشد. همان‌طور که دیده می‌شود درصد کاهش آبستگی نقطه مبنا با ترکیب سنگ‌ریزه و المان‌های شش‌پایه بیشتر از سایر چیدمان‌ها می‌باشد، به طوری که میانگین درصد کاهش عمق آبستگی نقطه مبنا در آزمایش‌های گروه اول تا سوم برای تکیه‌گاه با دیواره قائم به ترتیب ۵۹، ۵۸ و ۵۵ درصد و در تکیه‌گاه با دیواره بالی شکل به ترتیب ۶۰، ۵۵ و ۵۸ درصد می‌باشد. به بیان دیگر بهترین مهار آبستگی در حالت ترکیب سنگ‌ریزه و المان شش‌پایه



شکل ۸ شکست لبه‌ای در آزمایش‌های با عدد فرود بیشینه و المان‌های روی بستر

جدول ۷ درصد کاهش عمق آبشستگی راس تکیه‌گاه (٪) در آزمایش‌های گروه سوم

نوع تکیه‌گاه	تراز کارگذاری المان	عدد فرود			
		Fr <sub>1</sub>	Fr <sub>2</sub>	Fr <sub>3</sub>	Fr <sub>4</sub>
با دیواره قائم	D <sub>1</sub>	۹۵	۹۱	۸۹	۸۷
	D <sub>2</sub>	۸۴	۸۵	۸۶	۸۵
	D <sub>3</sub>	۹۷	۹۵	۸۰	۸۰
با دیواره بالی شکل	D <sub>1</sub>	۹۶	۸۹	۸۸	۸۷
	D <sub>2</sub>	۷۹	۸۰	۸۴	۸۶
	D <sub>3</sub>	۱۰۰	۹۴	۸۲	۷۹

### نتیجه گیری

در این پژوهش، مطالعه عملکرد المان‌های شش پایه بتنی به عنوان یک روش نوین در مهندسی رودخانه با هدف مهار آبشستگی دو نوع تکیه‌گاه مورد بررسی و مقایسه با کارگذاری سنگ‌ریزه به عنوان یک روش مرسوم با انجام جمعا ۸۸ آزمایش مورد تحقیق قرار گرفت. همچنین ترکیب این دو روش با هدف رفع نقاط ضعف آن‌ها مورد بررسی قرار گرفته و نتایج زیر حاصل گردید:

به دلیل تشکیل گردابه های قوی تر در تکیه‌گاه با دیواره قائم، آبشستگی پیرامون آن بیش از تکیه‌گاه با دیواره بالی شکل می‌باشد. به طوری که اعماق آبشستگی

نقطه مبنا در اعداد فرود مختلف به طور میانگین ۲۸ درصد تفاوت دارد.

کارگذاری سنگ‌ریزه پیرامون تکیه‌گاه با دیواره قائم و بالی شکل، عمق آبشستگی نقطه مبنا را به ترتیب حداکثر تا ۷۰ و ۶۰ درصد کاهش می‌دهد.

کارگذاری المان‌های شش پایه بتنی پیرامون تکیه‌گاه‌ها با تراکم و ترازهای مختلف، آبشستگی نقطه مبنا را در دیواره قائم و بالی شکل به ترتیب حداکثر تا ۸۶ و ۱۰۰ درصد کاهش می‌دهد.

بهترین نتایج زمانی حاصل می‌گردد که این المان‌ها با تراکم بیشینه و بر روی بستر قرار گرفته باشند.

در حالت فوق شکست لبه‌ای المان‌ها رخ داده که می‌تواند منجر به گسیختگی پوشش گردد.

در مجموع بیشترین مهار آبشستگی زمانی رخ می‌دهد که ترکیب سنگ‌ریزه و المان‌های شش پایه مورد استفاده قرار گیرند، به طوری که عمق بیشینه آبشستگی در دیواره بالی شکل و قائم به ترتیب تا ۱۰۰ و ۹۷ درصد کاهش می‌یابد. این در حالی است که المان‌ها با تراکم باز قرار گرفته و بنابراین تعداد آن‌ها در واحد سطح کاهش یافته است.

در حالت فوق شکست لبه‌ای پوشش نیز مهار شده و پایداری پوشش حفاظتی تامین می‌گردد.

### مراجع

- Melville, B. W., "Local scour at bridge abutments", *Journal of Hydraulic Engineering*, Vol. 118(4), pp.615-631, (1992).
- Radice, A., Lauva, O., "On flow-altering countermeasures for scour at vertical-wall abutment", *Archives of Hydro-Engineering and Environmental Mechanics*, Vol. 59(3-4), pp.137-153, (2012).
- Radice, A., Davari, V., "Roughening elements as abutment scour countermeasures", *Journal of Hydraulic Engineering*, Vol. 140(8), pp.1-7 (2014).
- Bejestan, M. S., Khademi, K., Kozymehnezhad, H., "Submerged vane-attached to the abutment as scour countermeasure", *Ain Shams Engineering Journal*, Vol. 6(3), pp. 775-783, (2015).
- Pagan-Ortiz, J. E., "Stability of rock riprap for protection at the toe of abutments located at the

- floodplain", United States. Federal Highway Administration, Report No. FHWA-RD-91-057 (1991).
6. Singh, N. B, Devi, T. T., Kumar, B., "The local scour around bridge piers—a review of remedial techniques", *ISH Journal of Hydraulic Engineering*, DOI: 10.1080/09715010.2020.1752830, pp. 1-14, (2020).
  7. Thornton, C. I., Abt, S. R., Watson, C. C., "Field Assessment of A-Jacks Installation, A Case Study of: Brush, Creek, Kansas City, Missouri Powell Creek, Waukegan, Illinois", *Wetlands Engineering & River Restoration 2001*, (2001).
  8. Corvallis, O. R., "Submerged breakwater tests a-jacks armor units", Master of Science Thesis, Oregon State University, USA, (1996).
  9. Lebaron, J. W., "Stability of A-Jacks armored rubble mound breakwaters subjected to breaking and non-breaking waves with no overtopping", Master of Science Thesis, Oregon State University, USA, (1999).
  10. Wise, L., "Numerical and physical modeling of wave forces on A-Jacks units", Master of Science Thesis, Oregon State University, USA, (1999).
  11. Ripkey, B. J., "Determination of wave run-up, rundown, and reflection design coefficients for a-jacks concrete armor units", Master of Science Thesis, Oregon State University, USA, (1999).
  12. Mickel J. J., "A-Jacks Matrix Stability: Deflection Due to Static Normal Loads", Master of Science Thesis, Oregon State University, USA, (1999).
  13. Latta, T. E., "Static and dynamic stresses in A-Jacks® concrete armor units", Doctoral dissertation, Auburn University, USA, (2000).
  14. Thornton, C. I., Watson, C. C., Abt, S. R., Lipscomband C. M., Ullman, C. M. a., "Laboratory Testing of A-JACKS Units for Inland Applications: Pier Scour Protection Testing", Colorado State University research report prepared for Armortec Inc., (1999).
  15. Thornton, C. I., Watson, C. C., Abt, S. R., Lipscomband C. M., Ullman, C. M. b., "Laboratory Testing of A-JACKS Units for Inland Applications: Full Scale Testing", Colorado State University research report for Armortec Inc., February. (1999).
  ۱۶. ذوالقدر، م.، شفاعی بجستان، م.، "تأثیر آرایش کارگذاری العمان های شش پایه بر پستی و بلندی بستر اطراف تکیه گاه دوزنقه‌ای"، فصلنامه علمی - پژوهشی مهندسی منابع آب (۳۶)، ص ۵۸-۴۷، (۱۳۹۷).
  ۱۷. ذوالقدر، م.، شفاعی بجستان، م.، "تأثیر تراکم و رقوم کارگذاری قطعات شش پایه بر عمق آبستتگی اطراف تکیه گاه مستطیلی"، دانش آب و خاک (۴)، ۲۶، ص ۱۳۵-۱۱۹، (۱۳۹۷).
  18. Zolghadr, M., Shafai Bejestan, M., "Six legged concrete (SLC) elements as scour countermeasures at wing wall bridge abutments", *International Journal of River Basin Management*. DOI: 10.1080/15715124.2020.1726357, pp. 1-7, (2020).

۱۹. حسین رضا، ع. شفاعی بجمستان، م. قم شی، م. فتحی مقدم، م. کاربرد همزمان سنگچین و المان های شش پایه در کنترل عمق آبشستگی اطراف تکیه گاه پل مستطیل شکل"، علوم و مهندسی آبیاری، دوره. (۱) ۴۲، ص ۹۹-۱۱۴ (۱۳۹۸).
20. Khademghaeiny, Gh., Abrishami, J., Zarrati, A. R., Karimaei Tabarestani, M., and Mashahirb, M., "Riprap design at bridge piers with limited scouring", *Journal of Scientia Iranica A*. Vol. 27(2), pp. 588-595, (2020).
21. Abboud, B., and Coe, J., "Environmental and Cost Effectiveness of Partially Grouted Riprap for Scour Countermeasure. Pennsylvania Department of Transportation", *Report No. FHWA-PA-2019-004-TEM WO 001*, pp. 215, (2019).
۲۲. کریمایی طبرستانی، م. "مطالعه پایداری و تحلیل حساسیت لایه سنگچین محافظ در اطراف پایه‌های پل براساس تحلیل قابلیت اطمینان"، نشریه هیدرولیک، (۱۴) ۴، ص ۶۸-۵۱، (۱۳۹۸).
۲۳. شفاعی بجمستان، م. "مبانی نظری و عملی هیدرولیک انتقال رسوب" انتشارات دانشگاه شهید چمران اهواز، (۱۳۸۷).
۲۴. شفاعی بجمستان، م. "مبانی و کاربرد مدل های فیزیکی و هیدرولیکی" انتشارات دانشگاه شهید چمران اهواز، (۱۳۸۴).
۲۵. خادمی، خ. "بررسی اثر فواصل طولی و عرضی صفحات مستغرق بر آبشستگی موضعی ایجاد شده در محل تکیه گاه پل"، پایان نامه دکتری گرایش سازه های آبی، دانشکده مهندسی علوم آب، دانشگاه شهید چمران اهواز، ایران، (۱۳۹۱).
۲۶. خزیمه نژاد، ح. "بررسی ابعاد و موقعیت قرارگیری طوقه بر آبشستگی موضعی ایجاد شده در محل تکیه گاه پل"، پایان نامه دکتری گرایش سازه های آبی، دانشکده مهندسی علوم آب، دانشگاه شهید چمران اهواز، ایران، (۱۳۹۱).
۲۷. رمضانی، ی. "بررسی تاثیر پوشش گیاهی دشت سیلابی بر آبشستگی تکیه گاه پل در مقطع مرکب"، پایان نامه دکتری گرایش سازه های آبی، دانشکده مهندسی علوم آب، دانشگاه شهید چمران اهواز، ایران، (۱۳۹۱).
28. Ballio, F., Teruzzi, A., and Radice A., "Constriction effects in clear-water scour at abutments", *Journal of Hydraulic Engineering*, Vol. 135(2), pp. 140-145, (2009).
29. Kothyari, U. C., Garde, R. C. J., and Ranga Ranju, K. G., "Temporal variation of local scour around circular bridge pier", *Journal of Hydraulic Engineering*, Vol. 118(8), pp. 1091-1106, (1992).
30. Bozkus, Z., Osman, Y., "Effect of inclination of bridge piers on scouring depth", *Journal of Hydraulic Engineering*, Vol. 130(8), pp. 1260-1269, (2004).
31. Pagliara, S., Hassanbandi, L. S., and Kurdistani, S. M., "Log-Vane Scour in clear water Condition", *Journal of River Research and Applications*, Vol. 31(9), pp. 1176-1182, (2015).
32. Lagasse, P. F., Richardson, E. V., "ASCE compendium of stream stability and bridge scour papers", *Journal of Hydraulic Engineering*, Vol. 127(7), pp. 531-533, (2001).
33. Melville, B. W., Van Ballegooy, S., Coleman, S. E., and Barkdoll, B., "Riprap size selection at wing-wall abutments", *Journal of hydraulic engineering*, Vol. 133(11), pp. 1265-1269, (2007).
34. Simons, D. B., Lewis, G. L., "Report-Flood Protection at Bridge Crossings", prepared for the Wyoming State Highway Department in conjunction with the U.S. Department of Transportation, C.S.U. Civil Engineering Report No. CER71-72DBS-GL10, (1971).

35. Lauchlan, C. S., "Pier Scour Countermeasures", *Ph. D. Thesis, University of Auckland, Auckland, NZ*, (1999).
۳۶. منصوری هفشجانی، م.، و شفاعی بجنستان، م.، "طراحی قطر سنگ چین در اطراف تکیه گاه پل واقع در قوس رودخانه"، نشریه علمی پژوهشی مهندسی آبیاری و آب ایران، (۴)، صص ۳۵-۳۴، (۱۳۹۰).
37. Cardoso, A. H., Fael, C. M., "Protecting vertical-wall abutments with riprap mattresses", *Journal of Hydraulic Engineering*, Vol. 135(6), pp.457-465, (2009).
۳۸. زیلابی، ز.، شفاعی بجنستان، م.، "تأثیر تعداد ردیف عناصر شش پایه در کاهش عمق آب شستگی پیرامون پایه پل مکعبی"، دانش آب و خاک، (۲،۴)، ۲۶، صص ۱۸۷-۲۰۰، (۱۳۹۵).
۳۹. منصوری هفشجانی، م.، شفاعی بجنستان، م.، "مقایسه تاثیر سه رقوم قرارگیری سنگ چین بر پایداری آن در محل تکیه گاه پل واقع در قوس ۹۰ درجه براساس آستانه حرکات سنگ چین"، دانش آب و خاک (۲۳)، صص ۱۹۵-۲۰۴، (۱۳۹۲).
40. Bakhtiari, M., Kashefipour, S, M., and Ghomeshi, M., "Criteria for Design of Rip Rap using bend form coastal protection plan", *Journal of Marine Science and Technology*, Vol. 13(2), pp. 81-91, (2014).